

Zr/Ti摩尔比对锶锆钛复合氧化物在可见光下光催化性能的影响

黄海凤¹ 贾建明¹ 卢晗锋^{2,*} 张宏华¹ 潘烈群³

(¹浙江工业大学生物与环境工程学院, 杭州 310014; ²浙江工业大学化学工程与材料科学学院, 催化反应工程研究所, 杭州 310014; ³富阳市环境保护监测站, 浙江 富阳 311400)

摘要: 通过分步沉积法制备了不同Zr/Ti摩尔比的锶锆钛(SZT)复合氧化物催化剂, 以X射线衍射(XRD)、扫描电镜(SEM)、透射电镜(TEM)、紫外-可见(UV-Vis)漫反射光谱等表征手段考察不同Zr/Ti摩尔比下SZT催化剂的结构形态, 以可见光下光催化降解亚甲基蓝为模型反应考察样品的光催化活性。结果表明: Zr/Ti摩尔比<1时SZT催化剂发生Zr⁴⁺与Ti⁴⁺同质替换, 引起晶格缺陷, 光催化活性小幅提高; Zr/Ti摩尔比≥1时SZT催化剂产生SrZrO₃/Ti_nO_{2n-1} ($n=4, 9$)的新晶相, Ti_nO_{2n-1} ($n=4, 9$)的存在有利于光生电子-空穴的传导与分离, 可大幅提高催化剂光催化活性。其中, SZT-5/5表现出最高的光催化活性, 其一级反应速率常数达到0.2133 min⁻¹, 是同等光照条件下纯SrTiO₃样品(0.0158 min⁻¹)的13.5倍。

关键词: 可见光; 锶锆钛复合氧化物; Zr/Ti摩尔比; 光催化降解; 亚甲基蓝

中图分类号: O644; O649

Effect of Designed Zr/Ti Molar Ratio on the Photocatalytic Activity of Sr-Zr-Ti Mixed Oxide Catalysts under Visible Light

HUANG Hai-Feng¹ JIA Jian-Ming¹ LU Han-Feng^{2,*} ZHANG Hong-Hua¹ PAN Lie-Qun³

(¹College of Biological and Environmental Engineering, Zhejiang University of Technology, Hangzhou 310014, P. R. China;

²Research Institute of Catalytic Reaction Engineering, College of Chemical Engineering and Materials Science, Zhejiang University of Technology, Hangzhou 310014, P. R. China; ³Environmental Monitoring Station of Fuyang City, Fuyang 311400, Zhejiang Province, P. R. China)

Abstract: A series of Sr-Zr-Ti (SZT) mixed oxide catalysts were prepared by a fractional-precipitation method. These photocatalysts were characterized by X-ray diffraction (XRD), scanning electron microscope (SEM), transmission electron microscope (TEM), and ultraviolet visible (UV-Vis) diffuse reflectance absorption spectra. Photocatalytic degradation of methylene blue was investigated to determine the photoactivity of the catalyst. It was shown that with a Zr/Ti ratio<1, the SZT mixed oxide catalysts showed improved photocatalytic activity. This was attributed to lattice defects creating active photocatalytic sites because of Zr⁴⁺ doping. For Zr/Ti ratios≥1, the catalysts showed markedly improved photocatalytic activity because of new crystalline phases of SrZrO₃ and Ti_nO_{2n-1} ($n=4, 9$) that facilitated splitting and conduction for electron/hole. Typical SZT samples (Zr/Ti=4) showed the highest photocatalytic activity, with first-order reaction rate constant 13.5 times that of a SrTiO₃ sample.

Key Words: Visible light; Sr-Zr-Ti mixed oxide; Zr/Ti molar ratio; Photocatalytic degradation; Methylene blue

Received: November 20, 2012; Revised: April 1, 2013; Published on Web: April 1, 2013.

*Corresponding author. Email: luhf@zjut.edu.cn; Tel: +86-571-88320767.

The project was supported by the National Natural Science Foundation of China (21107096).

国家自然科学基金(21107096)资助项目

© Editorial office of Acta Physico-Chimica Sinica

1 引言

半导体性材料多相光催化技术是近年来的研究热点,¹ 其中, ABO_3 钙钛矿型复合氧化物因其在磁性、电导性、催化降解染料废水等方面的优异性能受到了国内外学者的广泛关注。²⁻⁴ SrTiO_3 钙钛矿是一种最具应用前景的光催化材料, 在分解水制氢^{5,6}、光降解有机污染物^{7,8} 等方面均有良好表现。但 SrTiO_3 禁带宽度为 3.2 eV 左右,⁹ 在紫外光下才能激发光生电子, 其应用受到了很大的限制。于是对 SrTiO_3 进行改性, 拓宽其光响应范围, 提高量子效率成为光催化研究工作者追求的目标。目前主流的改性方法集中于离子掺杂¹⁰⁻¹³ 与贵金属沉积^{14,15} 而多种氧化物复合改性 ABO_3 钙钛矿却鲜有报道。另一方面, TiO_2 研究领域中通过多种氧化物复合改性均取得了较大的成功。¹⁶⁻¹⁸

本课题组¹⁹ 前期考察了 SrTiO_3 的制备方法, 发现分步沉积法得到的 SrTiO_3 催化剂活性最高。为了进一步探索有效的可见光催化剂, 论文设计以分步沉积法制备不同 Zr/Ti 摩尔比的锶锆钛(SZT)复合氧化物催化剂。用 XRD、SEM、TEM、UV-Vis 对这些催化剂的结构形态进行了表征, 讨论了不同 Zr/Ti 摩尔比对其可见光下的光催化性能影响。

2 实验部分

2.1 试 剂

钛酸四丁酯(分析纯 98%), 上海美兴化工股份有限公司; 硝酸锶(分析纯 99.5%), 上海恒信化学试剂有限公司; 五水硝酸锆(分析纯 99.8%), 国药集团化学试剂有限公司; 氨水(分析纯 25%), 杭州长征化学试剂有限公司; 亚硝酸钠(分析纯 99%), 上海振欣试剂厂; 指示剂亚甲基蓝(指示剂 82%), 浙江温州市东升化工试剂厂; 无水乙醇(分析纯 99.7%); 上海海逸科贸有限公司。

2.2 催化剂制备

取一定量钛酸四丁酯分散于乙醇中, 并滴加氨水使 pH 值约为 8, 得到乳白色混合液, 将混合液抽滤后得到凝胶状白色沉淀; 称取一定量的五水硝酸锆溶于水中, 与适量的硝酸锶配成的溶液混合, 再与抽滤后的凝胶状白色沉淀混合, 磁力搅拌, 旋转蒸干, 后放入 110 °C 干燥箱干燥 17 h, 研磨后放置马弗炉中分段焙烧, 400 °C 焙烧 4 h, 700 °C 焙烧 4 h, 高温焙烧下得到完善的晶型。在定量加入硝酸锶条件下, 根据钛酸四丁酯和硝酸锆的不同摩尔比, 分

别得到样品 SZT-X, 记为 SZT-2/8、SZT-3/7、SZT-4/6、SZT-5/5、SZT-8/2。

2.3 催化剂表征

XRD 表征采用 ARL SCINTAG XTRA X 射线衍射仪分析样品的物相, Ni 滤波, 使用 Cu 靶 K_{α} 辐射, 工作电压为 45 kV, 工作电流为 40 mA, 扫描范围 $2\theta=10^{\circ}-80^{\circ}$ 。BET (Brunauer-Emmett-Teller) 表征采用 Micromeritics ASAP 2010C 型吸附仪测定, 样品测定前经 250 °C 脱气处理 4 h。SEM 表征采用 PHILIPS 公司生产的 Philips XL-30 扫描电子显微镜及能谱仪测定, 扫描前进行喷金处理。TEM 表征采用荷兰 FEI 公司生产 TecnaiG2 F30 高分辨透射电子显微镜及能谱分析仪测定, 测定前进行超声分散样品处理。UV-Vis 表征采用日本 SHIMADZU 公司生产的 Spec TM-BWS003 光谱仪测试, 以 BaSO_4 为参比。

2.4 光催化降解实验

光催化降解反应在自制的圆柱形耐热石英反应器中进行, 为排除外界光源的干扰, 光催化反应在暗箱中进行。反应器中心为镝灯(400 W), 置于 2 mol·L⁻¹ 的亚硝酸钠溶液中。亚硝酸钠溶液将光源散发出的 400 nm 以下的光阻隔, 得到可见光。夹层通循环水控制反应温度, 反应保持在 25 °C, 采用亚甲基蓝作为降解对象。将 500 mL 浓度为 10 mol·L⁻¹ 的亚甲基蓝水溶液注入自制的套层玻璃反应器中, 催化剂用量为 2.0 g·L⁻¹。在磁力搅拌下, 先暗吸附 20 min, 后打开镝灯(400 W), 光稳定 10 min 后, 开始记录光照反应时间, 每隔一定的时间取样, 用紫外-可见分光光度计(岛津 UV-2660)在 650 nm 处测其吸光度的变化, 由此计算亚甲基蓝的脱色率。

暗箱吸附实验在相同反应器中进行, 无光条件, 反应 40 min, 每隔 5 min 取样。用紫外-可见分光光度计在 650 nm 处测其吸光度的变化, 由此计算亚甲基蓝的脱色率。

3 结果与讨论

3.1 SZT 可见光光催化活性分析

图 1 为不同 Zr/Ti 摩尔比的锶锆钛(SZT)复合氧化物催化剂的暗箱吸附实验结果。我们定义 A_0 和 A 分别为 0 和 t 时染料溶液的吸光度, 以 $D=(1-A/A_0) \times 100\%$ 表示 t 时刻锶锆钛催化剂对染料溶液亚甲基蓝的降解效果。结果显示, 催化剂吸附对于亚甲基蓝的降解最终效果均在 5% 以下。且样品暗箱吸附 20 min 之后, 催化剂对于亚甲基蓝基本不再吸附降解。

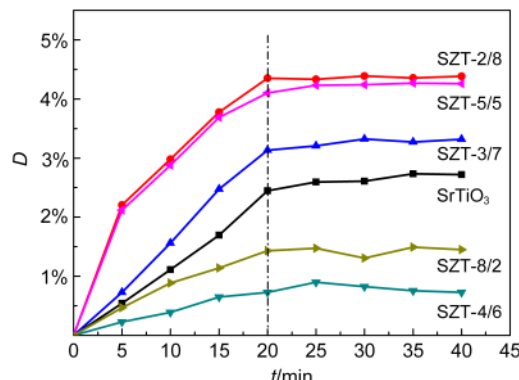


图1 不同Zr/Ti摩尔比的锶锆钛催化剂(SZT-X)对亚甲基蓝的暗箱吸附作用

Fig.1 Adsorption of methylene blue in black box by Sr-Zr-Ti mixed oxide catalysts (SZT-X) with different Zr/Ti molar ratios

X : Zr/Ti molar ratio; $D=(1-A/A_0)\times 100\%$, D : degradation, A_0, A : absorbance at initial time and t

实验结果排除了“暗箱吸附20 min, 光照稳定10 min后开始计数的光催化反应”中吸附作用的影响。我们定义可见光下SZT-X催化剂催化降解亚甲基蓝的能力表示催化剂活性大小。图2与图3为可见光照射下SZT-X催化剂催化降解亚甲基蓝的活性数据比较。速率常数(k)计算采用一级动力学方程式:^{20,21}

$$\ln(A_0/A)=kt$$

结果显示, 当Zr/Ti摩尔比<1时, 样品的一级反应速率常数在同一个数量级上, 活性优于纯SrTiO₃但提高幅度不大; 当Zr/Ti摩尔比≥1时, 样品的一级反应速率常数与纯SrTiO₃样品相比, 提高了几个数量级, 其中, SZT-5/5催化剂表现出最高的光催化活性, 其一级反应速率常数是SZT-8/2的1.8倍, 达到0.2133

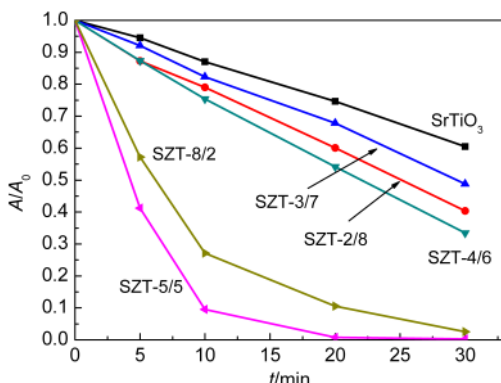


图2 可见光下不同Zr/Ti摩尔比的锶锆钛催化剂(SZT-X)对亚甲基蓝的降解作用

Fig.2 Decolorization ration of methylene blue on visible light by Sr-Zr-Ti mixed oxide catalysts (SZT-X) with different Zr/Ti molar ratios

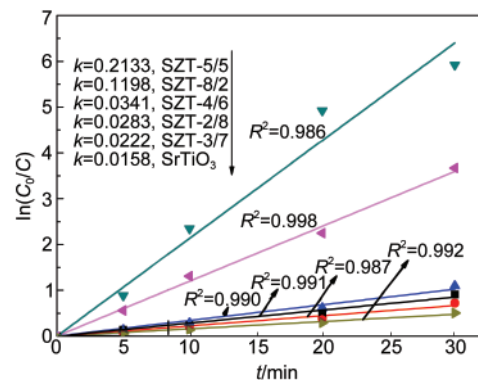


图3 可见光下不同Zr/Ti摩尔比的锶锆钛催化剂(SZT-X)降解亚甲基蓝的一级反应速率

Fig.3 First-order reaction rates of Sr-Zr-Ti mixed oxide catalysts (SZT-X) with different Zr/Ti molar ratios for the photodegradation of methylene blue on visible light

min⁻¹, 是同等光照条件下纯SrTiO₃样品(0.0158 min⁻¹)的13.5倍。说明不同Zr/Ti摩尔比的锶锆钛(SZT)复合氧化物催化剂能不同程度地提高SrTiO₃样品的光催化活性, 从光催化降解实验结果看, Zr的最佳掺入量为n(Zr):n(Ti)=1:1。光催化活性的比较结果为SZT-5/5>SZT-8/2>>SZT-4/6>SZT-2/8>SZT-3/7>纯SrTiO₃。

3.2 XRD 表征分析

图4(a)为SZT-X催化剂的XRD表征。由图可知, Zr/Ti摩尔比<1时, SrTiO₃结晶度急剧下降, Sr₂TiO₄与SrTiO₃晶相比逐步增大。而当Zr/Ti摩尔比≥1时, SZT-X催化剂出现了新的晶相SrZrO₃与TiO₂。

图4(b)为Zr/Ti摩尔比<1时SZT-X催化剂的特征峰XRD图谱(θ范围为30.8°~33.5°)。发现在Zr/Ti摩尔比<1条件下, 随着Zr含量的增多, SZT-X催化剂的SrTiO₃的晶相逐步被Sr₂TiO₄取代, 左侧Sr₂TiO₄特征峰逐渐向右偏移。根据现代晶体学理论,^{22,23}当杂质和基质的离子半径和电负性相接近时, 形成杂质替位的几率较大, 晶相图谱表现为同一方向微弱的移动, 晶格间距膨胀或缩小。已知Zr的离子半径与元素的相对电负性都和Ti比较接近: Ti的有效离子半径为0.0605,²⁴配位数为6, 电负性(鲍林标度)为1.54; Zr的有效离子半径为0.072, 配位数为6, 电负性(鲍林标度)为1.33。

表1为Zr/Ti摩尔比<1条件下的SZT-X催化剂的物理性质参数, 由表可知, 在Zr/Ti摩尔比<1条件下, 样品的晶格参数随Zr/Ti摩尔比的增大而有微小变大, 晶格间距也稍变大。这表明Zr/Ti摩尔比<1条件下, SZT-X催化剂的Ti⁴⁺与Zr⁴⁺在高温条件下发生

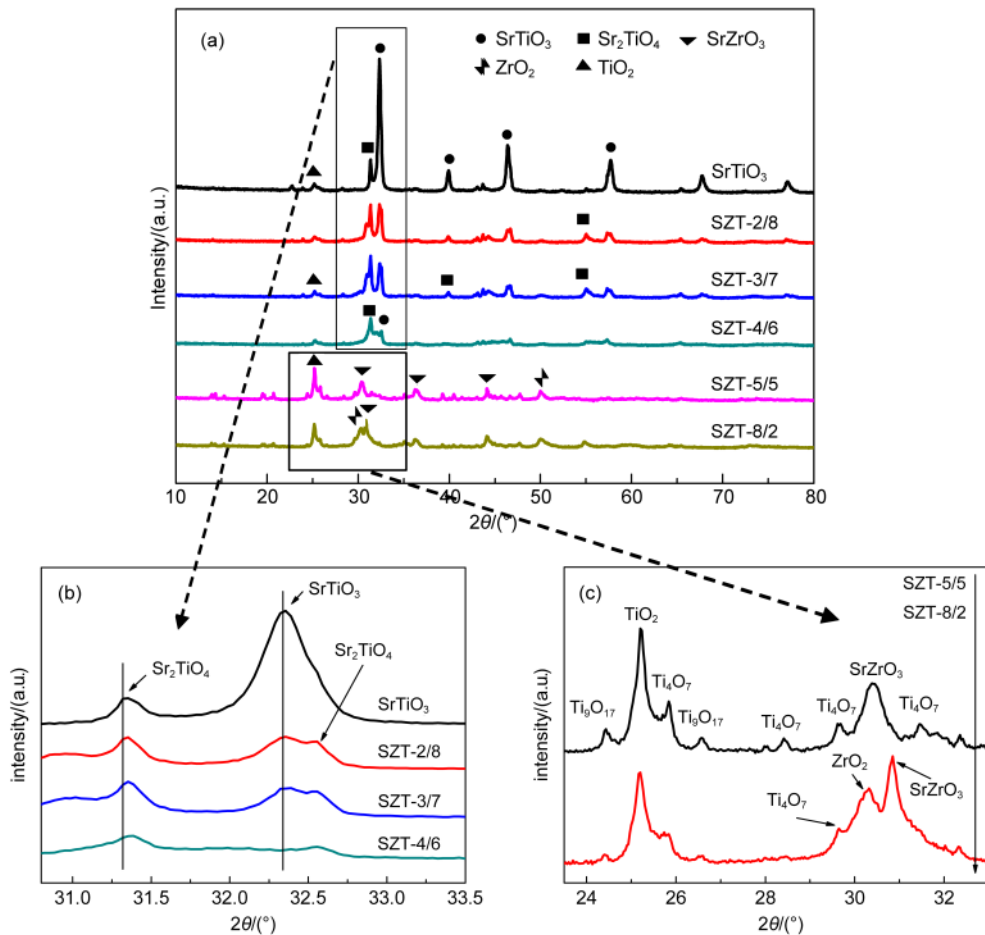


图4 不同Zr/Ti摩尔比的锶锆钛催化剂(SZT-X)的XRD谱图

Fig.4 XRD patterns of Sr-Zr-Ti mixed oxide catalysts (SZT-X) with different Zr/Ti molar ratios

了同质取代,由于 Zr^{4+} 的有效离子半径大于 Ti^{4+} ,会影响周围 O^{2-} 的排布情况,产生晶格缺陷。而半导体晶格缺陷的产生将降低SZT-X催化剂的化学稳定性,提高其光催化活性。

图4(c)为Zr/Ti摩尔比 ≥ 1 时SZT-X催化剂的特征峰XRD图谱(2θ 范围为 22.5° – 33°)。由图可知,SZT-5/5中 Sr_2TiO_4 与 $SrTiO_3$ 晶相完全消失,出现了以 $SrZrO_3$ 与 TiO_2 、亚氧化钛 Ti_nO_{2n-1} ($n=4, 9$)为特征峰的晶相结构。而SZT-8/2催化剂在 $2\theta=30.297^\circ$ 处形成了 ZrO_2 晶相,特征峰 $SrZrO_3$ 相比SZT-5/5样品向

表1 Zr/Ti摩尔比小于1时锶锆钛催化剂(SZT-X)的晶粒尺寸与晶胞参数(a)

Table 1 Crystal size and lattice parameter (a) of Sr-Zr-Ti mixed oxide catalysts (SZT-X) with Zr/Ti molar ratio < 1

Catalyst	Crystallite size/nm	a/nm
$SrTiO_3$	50.02	3.903
SZT-2/8	51.52	3.913
SZT-3/7	51.58	3.916
SZT-4/6	52.00	4.030

右移动了 0.025° 。值得注意的是,在 $2\theta=25.21^\circ$ (TiO_2 特征峰)处附近,出现了大量的亚氧化钛 Ti_nO_{2n-1} ($n=4, 9$)晶相(Ti_4O_7 与 Ti_9O_{17})。亚氧化钛 Ti_nO_{2n-1} ($n=4, 9$)晶相是一系列缺氧钛氧化物的统称,一方面具有 TiO_2 的一些优良特性,比如优异的抗氧化性²⁵、良好的抗电化学腐蚀性²⁶等特点,另一方面还具有无磁性、高电导率、^{27,28}光学性能独特²⁹等优点。特别是Magnéli相亚氧化钛 Ti_4O_7 具有类金属的高导电性,禁带宽度仅为零点几电子伏特。^{30,31}

图5为各种半导体化合物能带结构对应关系,³²由图可知在可见光区域, $SrZrO_3$ 的价带电子能发生跃迁产生光生电子和空穴。结合XRD图谱分析,亚氧化钛 Ti_nO_{2n-1} ($n=4, 9$)晶相的存在促使催化剂样品SZT-5/5与SZT-8/2形成了低于 Ti^{4+} 的空穴捕获中心。光催化过程中,分步沉积法制备的具有“核壳”结构的样品受光照射产生的电子很快转移到亚氧化钛 Ti_nO_{2n-1} ($n=4, 9$),有效降低了电子与空穴的复合几率。在Zr/Ti摩尔比 ≥ 1 条件下,光催化活性得到了几个数量级的提高。图6为SZT-X($X \geq 1$)催化剂光

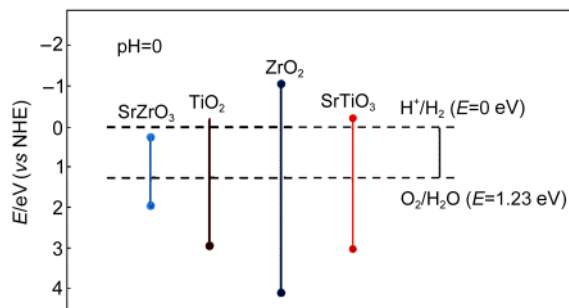


图5 在pH=0时各种半导体化合物能带结构对应关系
Fig.5 Band structure of different semiconductor compound with pH=0

降解亚甲基蓝的反应模型示意图。

在图4(c)中, SZT-8/2特征峰相比SZT-5/5出现了 ZrO_2 晶相, 根据图5可知, ZrO_2 的禁带宽度为5.5 eV, 较高的带隙能阻碍了光生电子和空穴的传输, 提高了其复合几率; 另一方面, 随着Zr掺入量得进一步增大, 亚氧化钛 Ti_nO_{2n-1} ($n=4, 9$)晶相(Ti_4O_7 与 Ti_9O_{17})的结晶度都有一定程度的下降。所以在 Zr/Ti 摩尔比 ≥ 1 的条件下, 能较大提高 $SrTiO_3$ 样品的光催化活性, 但Zr含量过量时, 样品的光催化活性下降。

3.3 透射电镜表征分析

图7为SZT-X催化剂的TEM表征结果。结果表明, 不同 Zr/Ti 摩尔比的SZT-X催化剂均显示出良好的晶体结构, 晶格间距与XRD计算数值相吻合。当 Zr/Ti 摩尔比 < 1 时, 晶格间距随着Zr掺入量的增多而逐渐增大。其中, SZT-2/8催化剂样品存在点缺陷; SZT-3/7和SZT-4/6催化剂样品存在线缺陷,²³该结果与图4(b)XRD分析相吻合, 进一步解释了少量Zr掺入的SZT-X光催化剂活性提高的原因。随 Zr/Ti 摩尔比的进一步增大, 晶格间距发生了突变。通过

SZT-5/5的EDX表征, 发现其样品表面的Sr与Zr的含量明显高于Ti含量。对比文献报道, 我们认为此时SZT-5/5催化剂出现了新的晶相 $SrZrO_3$ 与 TiO_2 及一系列缺氧钛氧化物。随着Zr掺入量的不断增加, 当 $X=8/2$, 可以看到 $SrZrO_3$ 逐渐转变为 ZrO_2 。这一结果与图4(c)XRD分析结果一致。

3.4 扫描电镜与BET表征分析

图8为SZT-X催化剂的SEM表征结果。结果显示, 不同 Zr/Ti 摩尔比的样品颗粒大小和表面形貌具有明显差异。比较 $SrTiO_3$ 催化剂, 当 Zr/Ti 摩尔比 < 1 时, 样品的颗粒较为明显, 呈现两种颗粒形貌, 即细小颗粒(约30 nm)和较大颗粒(约90 nm), 这可能与样品同时具有 $SrTiO_3$ 与 Sr_2TiO_4 两种晶相的结构特征有关。随着Zr含量的增多, 样品颗粒团聚现象明显, 样品颗粒尺寸增大, 符合样品BET表征结果与XRD谢乐公式计算结果, 见表2。随着 Zr/Ti 摩尔比的进一步增大, 样品形貌发生了明显的变化, 颗粒呈现块状。其中SZT-5/5的样品整体性最好, 样品表面像被包裹了一层致密的薄膜, 对比文献发现, 样品表面可能是 $SrZrO_3$, ³³ Zr含量进一步增大, 可以看出表面薄膜已消失, 暴露出一定的立方结构物质。

一般来说, 光催化剂具有较小的晶粒及较大的比表面积, 对光催化反应有利。而从BET表征结果看出SZT-2/8具有最大的比表面积, 我们推测较大的比表面积具有更多的活性点位, 并最终导致光催化活性SZT-2/8>SZT-3/7。

3.5 紫外漫反射光谱UV-VIS分析

图9为SZT-X催化剂的紫外-可见漫反射光谱。结果显示, 当 Zr/Ti 摩尔比 < 1 时, 样品的光吸收带发生了明显的红移, 随着 Zr/Ti 摩尔比的增大, 其对可

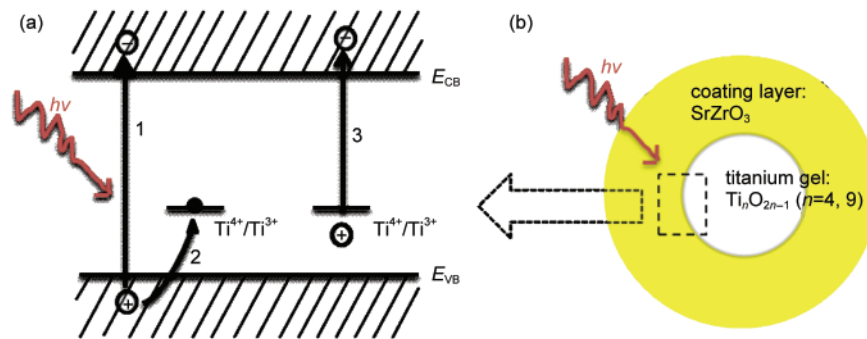


图6 锶锆钛催化剂(SZT-X) ($X \geq 1$)催化剂光降解亚甲基蓝反应模型示意图

Fig.6 Possible model of photocatalytic degradation of methylene blue of Sr-Zr-Ti mixed oxide catalysts SZT-X ($X \geq 1$)

(a) visible light response of SZT photocatalyst, (1) intrinsic excitation of $SrZrO_3$; (2) Photo-generated carriers were captured by Ti^{4+}/Ti^{3+} centre; (3) photoelectron excitation from Ti^{4+}/Ti^{3+} centre to conduction band of $SrZrO_3$. (b) core-shell structure of Sr-Zr-Ti mixed oxide catalysts (SZT) which were prepared by fractional-precipitation method

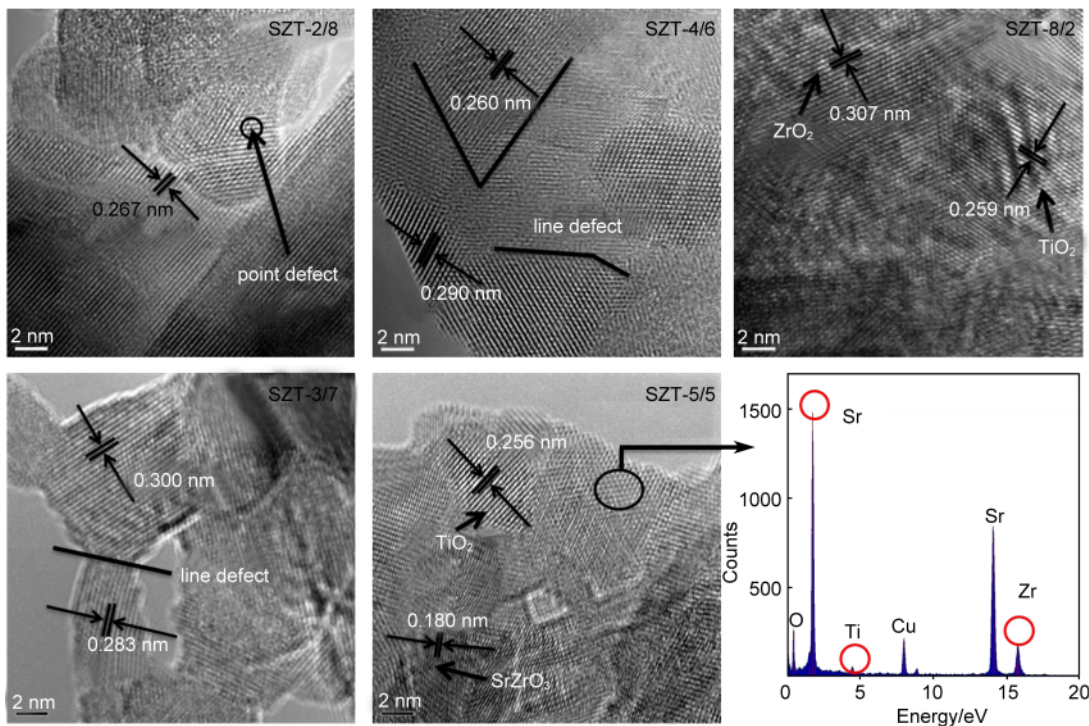


图7 不同Zr/Ti摩尔比的锯锆钛催化剂(SZT-X)的TEM图像

Fig.7 TEM images of Sr-Zr-Ti mixed oxide catalysts (SZT-X) with different Zr/Ti molar ratios

见光的吸收强度不断增强,其中SZT-4/6在可见光区域具有最高的吸收强度。结合XRD与TEM表征结果,Zr的同质取代有利于提高样品对可见光的吸收强度。所以在Zr/Ti摩尔比<1条件下,样品光催化活性应随着Zr/Ti摩尔比的增大而增强。但由于样品比表面积SZT-2/8>SZT-3/7,造成了SZT-2/8催化剂

单位面积活性点位的数目大于催化剂SZT-3/7,所以导致光催化活性催化剂SZT-2/8>SZT-3/7;而虽然比表面积催化剂SZT-4/6>SZT-3/7,但由于SZT-4/6的可见光吸收强度远大于SZT-3/7,同样造成单位面积活性点位数目催化剂SZT-4/6>SZT-3/7,所以光催化活性催化剂SZT-4/6>SZT-2/8>SZT-3/7。

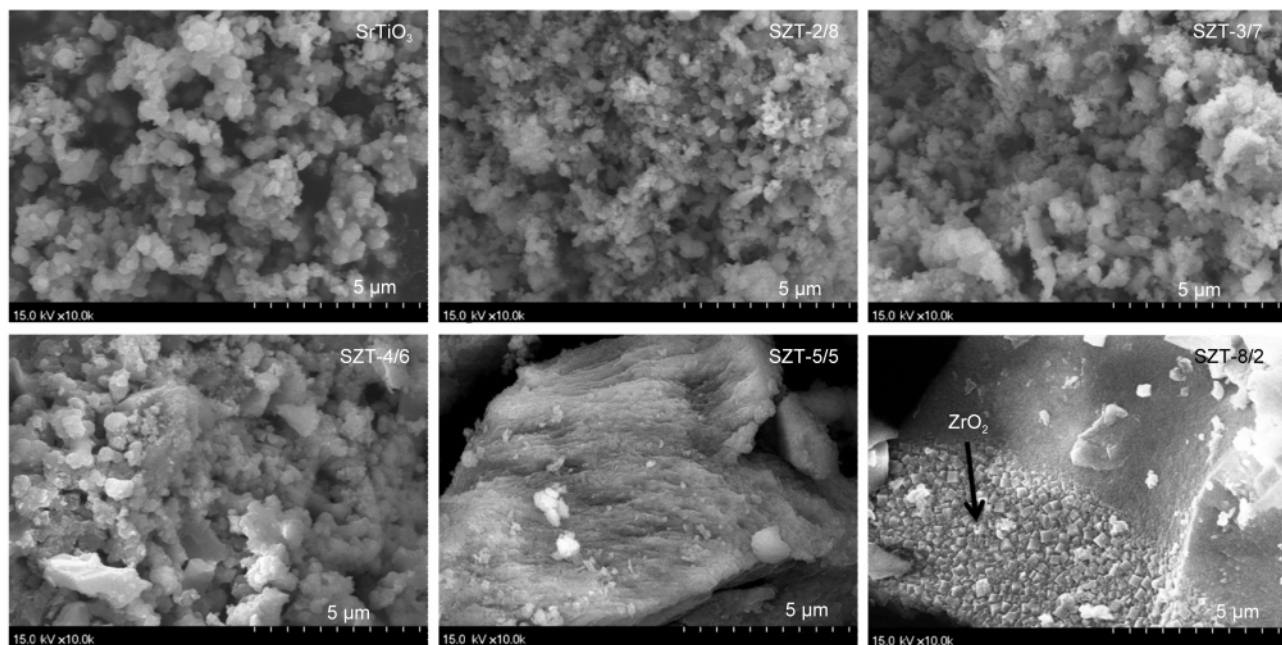


图8 不同Zr/Ti摩尔比的锯锆钛催化剂(SZT-X)的SEM图像

Fig.8 SEM images of Sr-Zr-Ti mixed oxide catalysts (SZT-X) with different Zr/Ti molar ratios

表2 样品晶粒大小(d)及比表面积

Sample	BET surface area/(m ² ·g ⁻¹)	d /nm
SrTiO ₃	4.0	24.4
SZT-2/8	11.5	48.3
SZT-3/7	9.3	50.2
SZT-4/6	1.5	62.8
SZT-5/5	10.1	22.3
SZT-8/2	3.1	55.3

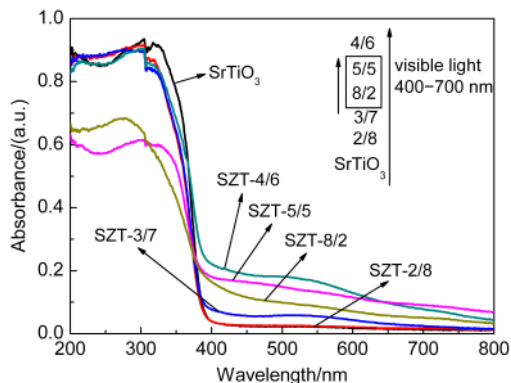


图9 不同Zr/Ti摩尔比的锶锆钛催化剂(SZT-X)的紫外可见漫反射光谱
Fig.9 UV-Vis diffuse reflection spectra of Sr-Zr-Ti mixed oxide catalysts (SZT-X) with different Zr/Ti molar ratios

当Zr/Ti摩尔比 ≥ 1 时, SZT产生SrZrO₃/Ti_nO_{2n-1}($n=4, 9$)的新晶相,不同的晶相结构对可见光的吸收强度不同,但图9结果显示其吸收强度同样增强,且在紫外光区域的吸收值发生了突降,结合图5分析,可知在新的混合催化晶相中,SrZrO₃的减少不利于样品对可见光的吸收。所以Zr/Ti摩尔比 ≥ 1 时,光催化活性SZT-5/5优于SZT-8/2。

因此,催化剂活性不仅取决于催化剂的比表面积以及光响应范围,更取决于催化剂的晶相结构,能否有效促进电子与空穴的分离。

4 结 论

通过分步沉积法制备了不同Zr/Ti摩尔比的锶锆钛(SZT)复合氧化物催化剂。对催化剂的表征及催化活性研究显示,Zr/Ti摩尔比 < 1 时催化剂出现类质同象,催化剂产生晶格缺陷且光催化活性得到小幅提高;当Zr/Ti摩尔比 ≥ 1 时,催化剂会产生以SrZrO₃、TiO₂和Ti_nO_{2n-1}($n=4, 9$)为主的新晶相。Ti_nO_{2n-1}($n=4, 9$)晶相易形成低于Ti⁴⁺的空穴捕获中心,有效降低了电子与空穴的复合几率,并大幅提高催化剂的可见光光催化活性。其中,SZT-5/5表现出最高的光催化活性,其一级反应速率常数达到0.2133 min⁻¹,是同

等光照条件下SrTiO₃样品(0.0158 min⁻¹)的13.5倍。

References

- Yan, X. R.; Li, X. H.; Huo, M. L.; Guo, W. W.; Gong, Y. J. *Acta Phys. -Chim. Sin.* **2001**, *17*, 23. [颜秀如, 李晓红, 霍明亮, 郭伟巍, 巩永进. 物理化学学报, **2001**, *17*, 23.] doi: 10.3866/PKU.WHXB20010105
- Kurokawa, H.; Yang, L. M.; Jacobson, C. P.; Jacobson, C. P.; De Jonghe, L. C.; Visco, S. J. *J. Power Sources* **2007**, *164* (2), 510. doi: 10.1016/j.jpowsour.2006.11.048
- Huang, H. F.; Tang, W.; Chen, Y. F.; Chen, B. F. *J. Mol. Catal. B* **2005**, *19* (5), 351. [黄海凤, 唐伟, 陈银飞, 陈碧芬. 分子催化, **2005**, *19* (5), 351.]
- Lee, M. S.; Meyer, J. U. *Sensors and Actuators B, Chemical* **2000**, *68* (1-3), 293. doi: 10.1016/S0925-4005(00)00447-0
- Luo, W. J.; Li, Z. S.; Jiang, X. J.; Yu, T.; Liu, L. F.; Chen, X. Y.; Ye, J. H.; Zou, Z. G. *Phys. Chem. Chem. Phys.* **2008**, *10*, 6717. doi: 10.1039/b803996h
- Puangphet, T.; Sreethawong, T.; Chavadej, S. *Int. J. Hydrot. Energy* **2010**, *35*, 6532.
- Wang, D.; Kako, T.; Ye, J. *J. Phys. Chem. C* **2009**, *113*, 3785. doi: 10.1021/jp807393a
- Chen, L.; Zhang, S. C.; Wang, L. Q.; Xue, D. F.; Yin, S. J. *Crystal Growth* **2009**, *311*, 746.
- Ryoko, K.; Tatsuya, I.; Hideki, K.; Akihiko, K. *J. Phys. Chem. B* **2004**, *108*, 8992. doi: 10.1021/jp049556p
- Onishi, T. *J. Top Catal.* **2010**, *53*, 566. doi: 10.1007/s11244-010-9488-6
- Galinetto, P.; Casiraghi, A.; Mozzati, M. C.; Azzoni, C. B.; Norton, D.; Boatner, L. A. *Ferroelectrics* **2008**, *368* (1), 120. doi: 10.1080/00150190802368248
- Hua, N. P.; Wu, Z. Y.; Du, Y. K.; Zou, Z. G.; Yang, P. *Acta Phys. -Chim. Sin.* **2005**, *21* (10), 1085. [华平, 吴遵义, 杜玉扣, 邹志刚, 杨平. 物理化学学报, **2005**, *21* (10), 1085.] doi: 10.3866/PKU.WHXB20051004
- Lu, H. F.; Zhou, Y.; Xu, B. Q.; Chen, Y. F.; Liu, H. Z. *Acta Phys. -Chim. Sin.* **2008**, *24* (3), 459. [卢晗锋, 周瑛, 徐柏庆, 陈银飞, 刘化章. 物理化学学报, **2008**, *24* (3), 459.] doi: 10.3866/PKU.WHXB20080319
- Puangphet, T.; Sreethawong, T.; Chavadej, S. *Int. J. Hydrot. Energy* **2010**, *35*, 6531. doi: 10.1016/j.ijhydene.2010.04.015
- Wei, W.; Dai, Y.; Guo, M.; Zhu, Y. Z.; Huang, B. B. *J. Phys. Chem. C* **2010**, *114*, 10917.
- Yang, J.; Li, D.; Wang, X. *J. Solid State Chem.* **2002**, *165* (1), 193. doi: 10.1006/jssc.2001.9526
- Tanaka, T.; Teramura Kentaro, Y. T. *J. Photochem. Photobiol. A-Chem.* **2002**, *148* (1-3), 277. doi: 10.1016/S1010-6030(02)00054-0
- Kataoka, S.; Tompkins, D. T.; Zeltner, W. A. *J. Photochem. Photobiol. A-Chem.* **2002**, *148* (1-3), 323. doi: 10.1016/

- S1010-6030(02)00059-X
- (19) Pan, L. Q.; Lu, H. F.; Huang, H. F. *Rare Earths* **2011**, *3* (29), 284. [潘烈群, 卢晗峰, 黄海凤. 中国稀土学报, **2011**, *3* (29), 284.]
- (20) Yu, C. L.; Fan, C. F.; Yu, J. M. *Mater. Res. Bull.* **2011**, *46* (1), 145.
- (21) Tennakone, K.; Ileperuma, O. A.; Bandara, J. M. S.; Kiridena, W. C. B. *Semicond. Sci. Technol.* **1992**, *7* (3), 424. doi: 10.1088/0268-1242/7/3B/109
- (22) Wei, G. P.; Jiang, C. H.; Zhen, W.; Jin, D. R. *Crystal Structure and Defects*, 1st ed.; Code of Practice for Design and Construction: Beijing, 2010; pp 5, 64–120. [魏光普, 姜传海, 甄伟, 金灯仁. 晶体结构与缺陷, 第一版. 北京: 中国水利水电出版社; 2010: 5, 64–120.]
- (23) Chen, J. Z. *Modern Crystal Chemistry*, 1st ed.; Science and Technology Press: Beijin g, 2010; pp 140–160. [陈敬中. 现代晶体化学, 第一版. 北京: 科学技术出版社, 2010: 140–60.]
- (24) Xu, Y. L. *Basic of Oxide and Compound Semiconductor*, 1st ed.; Xidian University Press: Xi'an, 1991. [徐毓龙. 氧化物与化合物半导体基础, 第一版. 西安: 西安电子科技大学出版社, 1991.]
- (25) Han, W. Q.; Wang, X. L. *Appl. Phys. Lett.* **2010**, *2* (12), 3709.
- (26) Walsh, F. C.; Wills, R. G. A. *Electrochimica Acta* **2010**, *55*, 6342. doi: 10.1016/j.electacta.2010.05.011
- (27) Chen, G. Y.; Simon, R. B.; Thomas, E. M. *The Electrochemical Society* **2002**, *149* (8), A1092.
- (28) Lakkis, S.; Schlenker, C.; Chakraverty, B. K.; Buder, R.; Marezio, M. *Physical Review B* **1976**, *14* (4), 1429.
- (29) Masayuki, W.; Wakana, U.; Tetsusuke, H. *Luminescence* **2007**, *122–123*, 393.
- (30) Leandro, L.; Giuseppe, M. *Physical Review B* **2009**, *79*, 245133. doi: 10.1103/PhysRevB.79.245133
- (31) Eyert, V.; Schwingenschl, U.; Eckern, U. *Chemical Physics Letters* **2004**, *390*, 151. doi: 10.1016/j.cplett.2004.04.015
- (32) Xu, Y.; Schoonen, M. A. A. *American Mineralogist* **2000**, *85*, 543.
- (33) Liu, S. W.; Lu, M. K.; Song, C. F.; Wang, S. F.; Gu, F.; Cheng, X. F.; Xu, D.; Yuan, D. R. *J. Functional Materials* **2004**, *35* (2), 233. [刘素文, 吕孟凯, 宋春风, 王淑芬, 顾锋, 程秀风, 许东, 袁多荣. 功能材料, **2004**, *35* (2), 233.]